

文章编号: 1004 - 0609(2003)03 - 0616 - 06

RE 对 Mg-8Zn-4Al-0.3Mn 合金组织的影响^①

王迎新, 关绍康, 王建强

(郑州大学 材料工程学院, 郑州 450002)

摘要: 研究了 RE 对 Mg-8Zn-4Al-0.3Mn 铸造镁合金显微组织的影响。结果表明: Mg-8Zn-4Al-0.3Mn-xRE 铸造镁合金的显微组织主要由 α (Mg) 基体、 φ (Al₂Mg₅Zn₂) 相、 τ (Mg₃₂(Al, Zn)₄₉) 相和 Mg₃Al₄Zn₂RE 相组成。随 RE 加入量的增加, 合金晶界上三元相的形态由半连续网状改变为颗粒状, 三元相的分布逐渐变得弥散而均匀。晶界上针状或棒状 Mg₃Al₄Zn₂RE 相的量也随着 RE 加入量的增加而增加。加入 1.5% 的 RE 可显著细化合金的铸态组织, 晶粒大小由 120~130 μm 减小到 40~50 μm 。合金的显微硬度值随着 RE 加入量的增加而增加。

关键词: Mg-8Zn-4Al-0.3Mn 镁合金; RE; 显微组织

中图分类号: TG 146.22

文献标识码: A

镁合金密度一般小于 2 g/cm³, 是目前最轻的金属结构材料, 机械加工能量仅为铝合金的 70%^[1], 减振性能、磁屏蔽性能远优于铝合金, 被人们誉为“21 世纪最具发展潜力和前途的绿色工程材料”。AZ91 合金具有较高的室温强度, 优良的铸造工艺性能以及低成本等优点, 成为目前应用最广的铸造镁合金, 但这种合金的高温力学性能差, 长期使用温度不能超过 120 °C。国内的研究主要是通过向 AZ91 合金中加入微量元素, 如钙、硅、锑、锡、铋、稀土^[2-7]等来提高其抗高温性能。IMRA(美国)开发出的 ZAC8506^[8, 9]是具有低成本、良好的高温强度和蠕变抗力的新型合金。但是 Mg-Zn 二元系合金的结晶温度间隔较大(特别是不平衡状态下), 其最大不平衡结晶温度间隔达 290 °C。对如此大结晶温度间隔的合金, 通过变质既可以改变铸造性能, 同时还可以提高其力学性能。稀土元素能净化合金液、改善合金的铸造性能、细化和变质组织、提高力学性能、提高合金的抗氧化和蠕变性能。本文作者在 Mg-8Zn-4Al-0.3Mn 合金的基础上, 研究了微量的稀土对合金显微组织的影响。

1 实验

4 种合金成分见表 1。配料时考虑了合金元素的实收率, 因此所得合金的实际成分与设计成分基本相符。

① 收稿日期: 2002-08-07; 修订日期: 2002-11-04

作者简介: 王迎新(1977-), 男, 硕士研究生。

通讯联系人: 王迎新, 电话: 0371-3887508; E-mail: wyx119@163.com

1.1 材料制备

以工业纯镁、铝、锌、Al-10%Mn 中间合金和混合稀土(成分见表 2)作为原材料。在井式坩埚炉中用 JDRJ 覆盖保护熔炼。合金于 730 °C 熔化后, 升温至 780 °C 加入混合稀土, 精炼, 在 760 °C 静置 20 min, 浇铸到金属型模具中, 试样尺寸为 d 25 mm × 100 mm。

表 1 合金的化学成分

Table 1 Chemical compositions of alloys
(mass fraction, %)

Alloy No.	Zn	Al	Mn	RE	Mg
1#	8.0	4.0	0.3	0	Bal.
2#	8.0	4.0	0.3	0.5	Bal.
3#	8.0	4.0	0.3	1.0	Bal.
4#	8.0	4.0	0.3	1.5	Bal.

表 2 混合稀土的化学成分

Table 2 Chemical composition of mischmetal
(mass fraction, %)

Ce	La	Nd	Pr	Fe	Mg	Mn	Si	Ca	P
50.20	26.67	15.28	5.37	0.65	0.38	0.11	0.01	0.01	0.003

1.2 试验方法

试样腐蚀采用 acetic picral^[10] 腐蚀剂, 显微结构观察采用 Olympus 型光学显微镜和 JSM-5801LV 型扫描电镜(SEM), 微区成分分析采用 Oxford 型能量色散谱仪(EDS)。合金相组成分析在 Philips PW 1700 型 X 射线衍射仪(XRD) 上进行。显微硬度在 HV-

1000 型显微硬度仪上测试, 载荷为 1 N, 加载持续时间为 20 s, 取 3 个试样的平均值。铸态试棒按 GB6397—86 加工成 d 10 mm 的常温拉伸试棒, 按 GB4338—84 加工成 d 5 mm 的高温(150 °C)拉伸试棒, 在 Instron 拉伸机上进行力学性能测试。

2 结果与讨论

2.1 合金的组织特征

由图 1 可知, 合金的组成相为 α (Mg) 相、 φ (Al₂Mg₅Zn₂) 相、 τ (Mg₃₂(Al, Zn)₄₉) 相, 只是合金中各相的含量发生了变化。从图 2 可以看出(结合 X 射线衍射分析), 无变质合金的组织为: 基体 α (Mg) 固溶体, 白色的三元相 φ (Al₂Mg₅Zn₂) 和 τ (Mg₃₂(Al, Zn)₄₉), 黑灰色的因不平衡凝固而形成的共晶 α (Mg) 相。表 3 所列为图 2 中 A, B, C, D 区域的 EDAX 测定结果。由图 3 可知: 在 Mg-8Zn-4Al-0.3Mn 中加入 1.5% 稀土, 其产生的针状或棒状相并不象在 AZ91D 中加入稀土而产生的针状或棒状 Al₁₁RE₃ 相^[7], 而是稀土溶于三元相中形成的

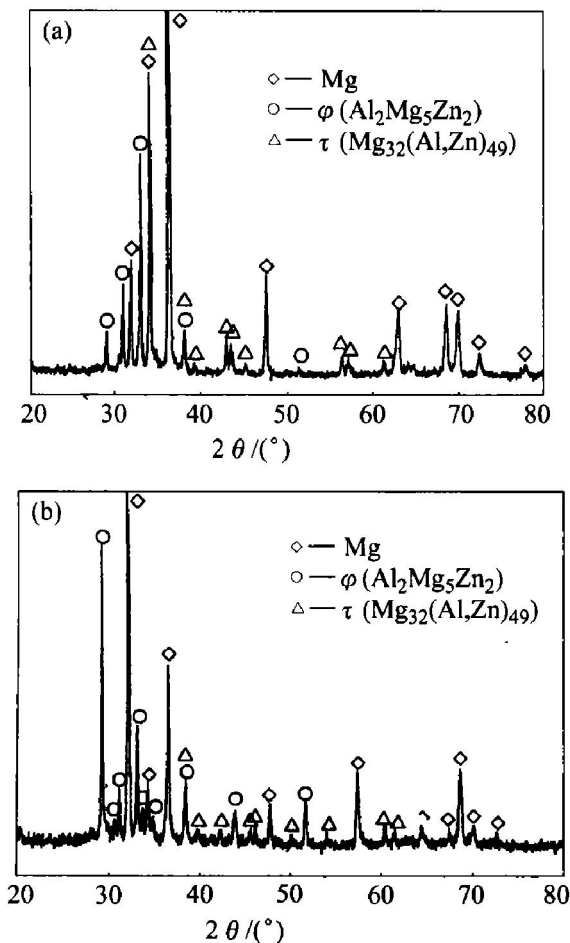


图 1 铸态合金的 XRD 谱

Fig. 1 XRD patterns of as-cast alloys

(a) —Alloy 1#; (b) —Alloy 4#

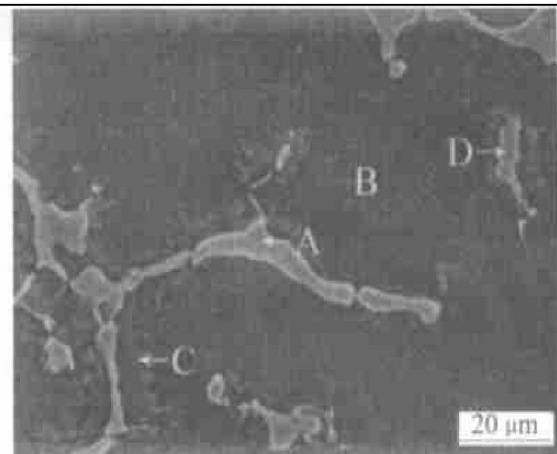


图 2 1# 合金的 SEM 形貌
Fig. 2 SEM micrograph of alloy 1#

四元相 Mg₃Al₄Zn₂RE(摩尔分数之比), 如图 3(a) 中 A 所示。而图 3(a) 中 B 所示的为 φ (Al₂Mg₅Zn₂) 相, 其中的稀土含量较少, 并没有使其晶体结构发生根本的变化。图 3(a) 中 C 所示的岛状相为 τ (Mg₃₂(Al, Zn)₄₉) 相。加入 1.5% 稀土的合金共晶 α (Mg) 相由于 SEM 的特点而分辨不清。与图 2 所示的显微组织相比, 加入 1.5% 稀土的镁合金中的 φ (Al₂Mg₅Zn₂) 相增多, τ (Mg₃₂(Al, Zn)₄₉) 相相对较少, 这也可以从图 1(b) 看出, 可能是由于稀土改变了 τ 相的结构而使其转变为 φ 相。

表 3 图 2 中各点的 EDAX 测定结果

Table 3 Chemical composition of positions by EDAX in Fig. 2 (mole fraction, %)

Position	Mg	Al	Zn	Phase
A	46.04	22.28	31.67	Mg ₃₂ (Al, Zn) ₄₉
B	96.80	1.71	1.49	Matrix
C	92.36	4.65	2.99	Eutectic α (Mg)
D	52.00	20.39	27.60	Al ₂ Mg ₅ Zn ₂

2.2 稀土对合金显微组织的影响

图 4 所示为无变质和加入不同量稀土的合金显微组织。无变质合金的晶粒粗大, 晶界上的三元相呈半连续网状分布, 并且在其周围分布着较少的共晶 α (Mg)(箭头所指, 见图 4(a))。稀土的加入量发生变化时, 合金的形态及分布也发生了明显的变化, 但是稀土的加入对共晶 α (Mg) 的影响很小, 从显微组织中看不出共晶 α (Mg) 数量的变化, 如图 4(b~d) 所示。加入 0.5% 稀土后, 合金晶界上的三元相呈断续状分布, 部分三元相已变为颗粒状, 但是没有出现针状或棒状相。加入 1.0% 稀土后, 合金晶界上的三元相基本上转变为颗粒状且分布比较均匀, 并伴有一小部分的针状或棒状相出现。加入

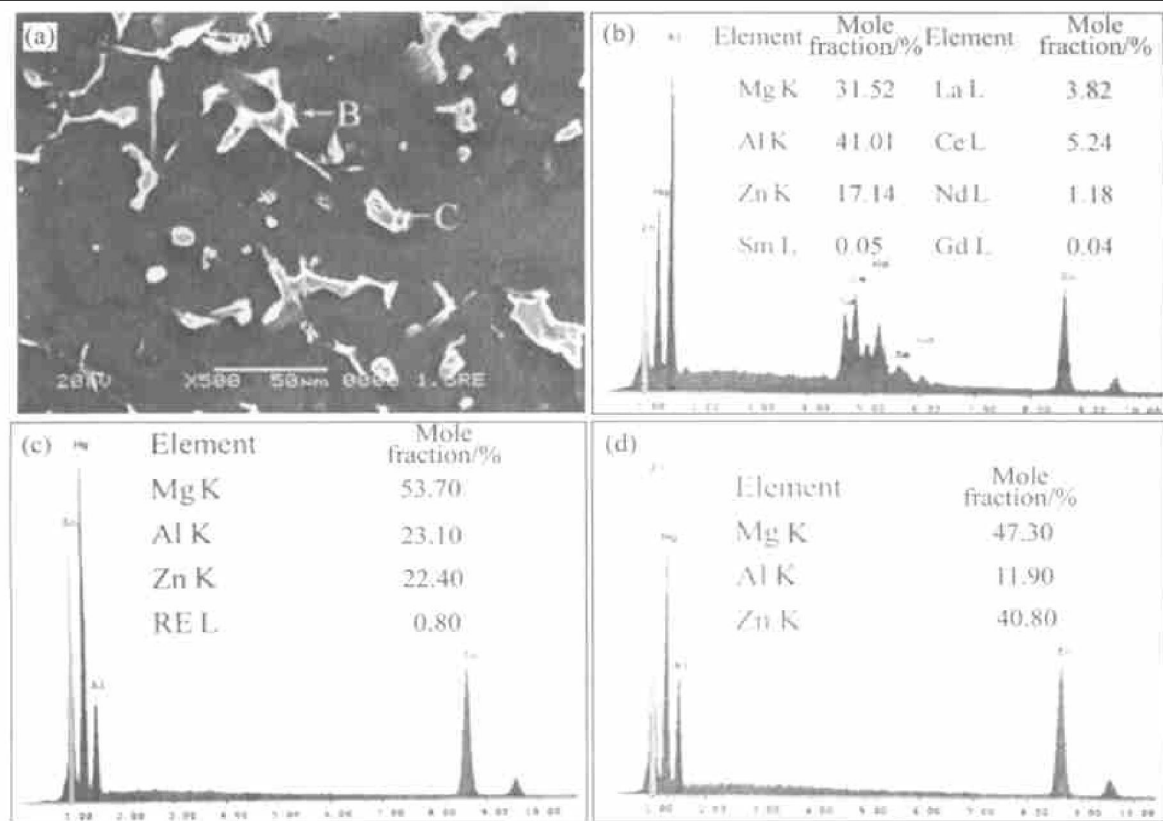


图 3 4# 合金的 SEM 形貌及其能谱成分分析结果

Fig. 3 SEM micrograph and EDAX results of alloy 4[#]

(a) —SEM micrograph; (b) —EDAX of phase A; (c) —EDAX of phase B; (d) —EDAX of phase C

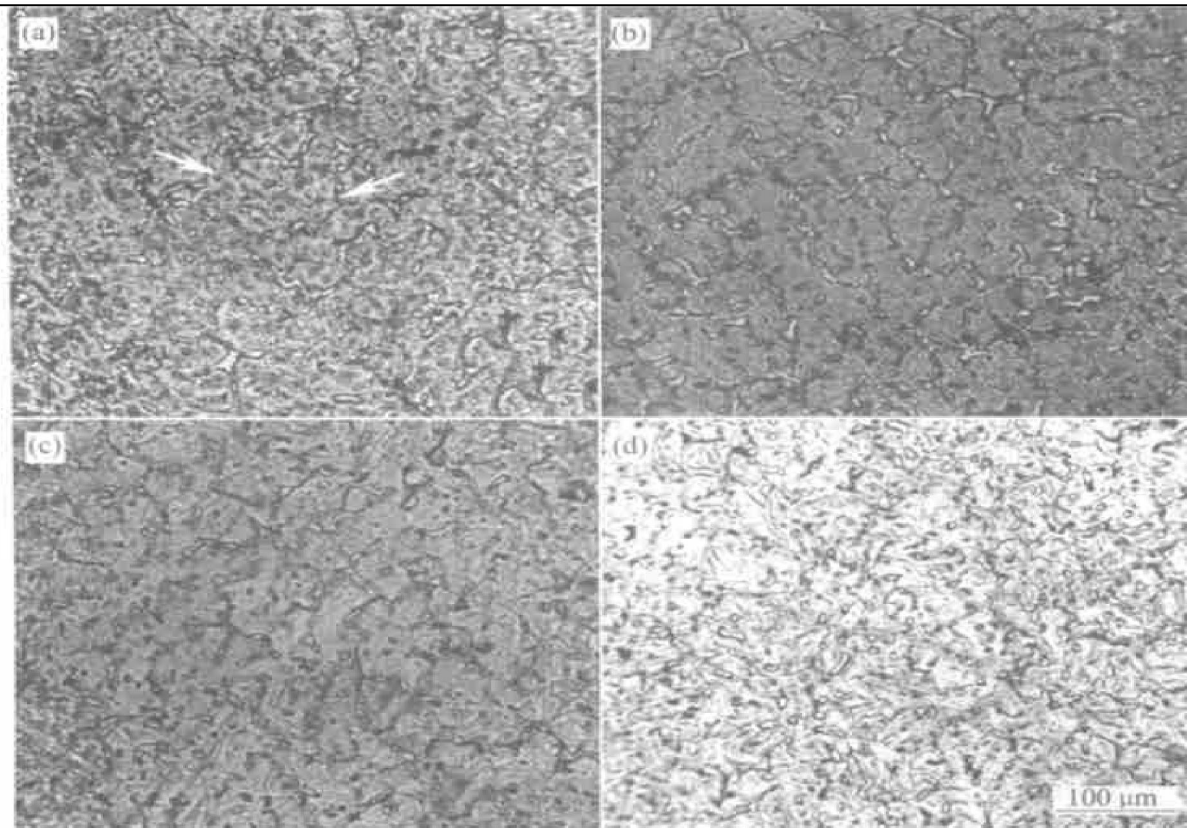


图 4 合金的铸态组织

Fig. 4 Microstructures of as-cast alloys

(a) —Alloy 1[#]; (b) —Alloy 2[#]; (c) —Alloy 3[#]; (d) —Alloy 4[#]

1.5% 稀土后, 其颗粒相分布弥散且均匀, 针状或棒状相的数量增多。可以认为稀土的加入对 Mg-8Zr-4Al-0.3Mn 合金起到了明显的变质作用。稀土对 Mg-8Zr-4Al-0.3Mn 合金晶粒尺寸的影响如表 4 所示。从表 4 可以看出, 合金中加入 1.5% 稀土时, 其晶粒尺寸最小。

表 4 不同稀土含量合金的晶粒尺寸范围

Table 4 Grain size range of alloys with different contents of RE

w (RE) / %	Grain size range/ μm
0	120~130
0.5	100~110
1.0	75~85
1.5	40~50

图 5 所示为 4# 合金的面扫描结果, 从图中可以看出, 稀土大部分分布在晶界处, 只有很少一部分固溶于基体内部。这也正是稀土起变质作用和细化作用的原因。由于稀土是镁的表面活性元素, 在合金的凝固过程中, 稀土富集于 $\alpha(\text{Mg})$ 晶粒的晶界, 三元相出现后, 由于稀土的富集而阻止了三元相的生长, 从而使半连续网状的三元相改变为断续状、颗粒状。随着稀土加入量的增加, 稀土直接与偏聚在晶界的铝、锌及镁原子化合而形成针状或棒状的 $\text{Mg}_3\text{Al}_4\text{Zn}_2\text{RE}$ 化合物相。这些含稀土的化合物相通常具有较高的熔点, 因此在较高的温度形成且富集于 $\alpha(\text{Mg})$ 晶粒的晶界上, 从而阻止晶粒的长大使晶粒细化, 同时稀土使三元相改变为颗粒状而均匀弥散分布于基体上。

2.3 稀土对合金显微硬度的影响

由图 6 可以看出, 不同含量稀土的加入均提高了 Mg-8Zr-4Al-0.3Mn 合金基体的显微硬度, 且显微硬度值随着稀土加入量的增加而增加。当稀土的加入量为 1.5% 时, 显微硬度值提高最大, 为 20.6%。铝、锌原子在镁合金中的固溶度分别为 12.7% 和 6.2%, 因此铝、锌原子对镁合金基体的强化起着重要的作用。表 5 所列为 4 种合金基体的镁、铝、锌原子的成分。从表中可以看出, 后 3 种合金基体的铝、锌原子含量均比无变质的要高。造成基体中铝、锌原子浓度的不同可能是由于晶界分布的活性稀土元素, 它促使铝、锌原子向基体 $\alpha(\text{Mg})$ 中扩散。同时, 还有一小部分的稀土原子固溶于 $\alpha(\text{Mg})$ 基体中, 这也是导致 $\alpha(\text{Mg})$ 基体显微硬度升高的原因。

2.4 稀土对合金力学性能的影响

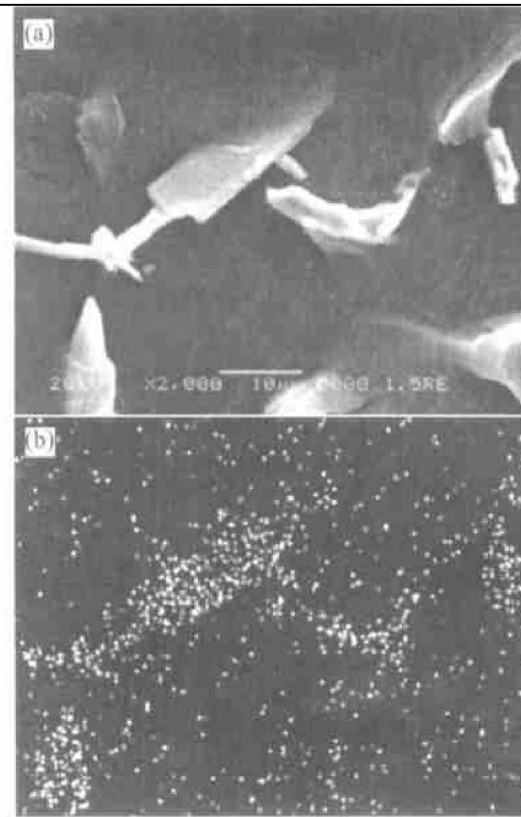


图 5 4# 合金的面扫描像

Fig. 5 Surface scanning of alloy 4[#]

- (a) —ESEM micrograph of alloy 4[#];
- (b) —Mapping of RE element

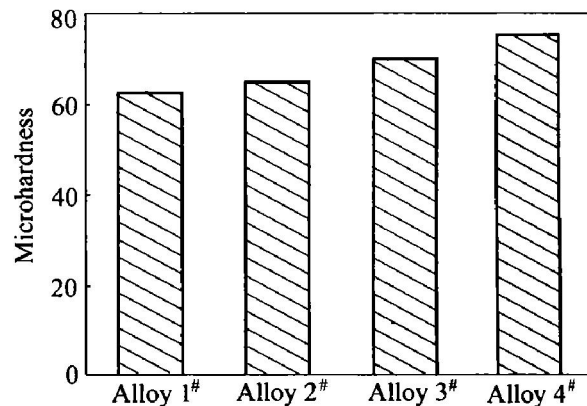


图 6 不同含量 RE 变质后的合金基体的显微硬度值

Fig. 6 Microhardness value of matrix of alloys with different contents of RE

表 5 各合金基体的能谱分析结果

Table 5 EDAX results of matrixes of different alloys(mole fraction, %)

Matrix	Mg	Al	Zn
Alloy 1 [#]	96.80	1.71	1.49
Alloy 2 [#]	96.11	1.82	2.07
Alloy 3 [#]	94.94	2.11	2.95
Alloy 4 [#]	93.79	2.43	3.78

从表6中可以看出, ZA系合金的室温性能与AZ91D合金基体相同, 但其高温力学性能比AZ91D合金的要高。因为AZ91D合金的强化相为Mg₁₇Al₁₂, 它的熔点只有437℃, 从室温加热到200℃时, 其硬度减小50%~60%而失去强化作用, 因此AZ91D合金的高温力学性能较低。ZAC8506合金的显微组织为Mg基体及分布于其上的 τ (Mg₃₂(Al, Zn)₄₉)相^[11]。 τ 相的熔点为535℃, 并且由于Ca的溶入而使其抗高温性能增加。 $Mg\text{-}8Zn\text{-}4Al\text{-}0.3Mn\text{-}xRE$ 镁合金的显微组织由 α (Mg)相、 φ (Al₂Mg₅Zn₂)相、 τ (Mg₃₂(Al, Zn)₄₉)相和Mg₃Al₄Zn₂RE相组成。 φ 相的熔点为393℃^[11], 但是4#合金的高温拉伸性能并没有因为 φ 相的增加而降低, 这可能是由于RE元素溶入到 φ 相中提高其熔点的缘故。

表6 ZAC8506合金^[8]、AZ91D合金和4#合金力学性能的对比

Table 6 Comparison of tensile properties of ZAC8506 alloy, AZ91D alloy and alloy 4# at ambient temperature and 150 ℃

Alloy	Room temperature			150 ℃		
	σ_b /MPa	σ_s /MPa	$\varepsilon/\%$	σ_b /MPa	σ_s /MPa	$\varepsilon/\%$
ZAC8506	219	146	5.0	159	117	10.5
AZ91D	220	151	3.0	150	104	6.7
Alloy 4#	220	161	5.0	168	124	10.0

3 结论

1) Mg-8Zn-4Al-0.3Mn-xRE铸造镁合金的显微组织主要由 α (Mg)基体、 φ (Al₂Mg₅Zn₂)相、 τ (Mg₃₂(Al, Zn)₄₉)相和Mg₃Al₄Zn₂RE相组成。

2) 稀土的加入显著改变晶界上三元相的形态及分布, 使其由无变质的半连续网状改变为颗粒状, 三元相的分布变得弥散而均匀。晶界上针状或棒状Mg₃Al₄Zn₂RE相的量随着稀土加入量的增加而增加。加入1.5%稀土可显著细化Mg-8Zn-4Al-0.3Mn合金的铸态组织, 晶粒大小由120~130 μm减小到40~50 μm。

3) 合金的显微硬度值随着稀土加入量的增加而增加。当稀土的加入量为1.5%时, 显微硬度值最大提高达20.6%。

REFERENCES

- [1] 张鹏, 曾大本. 异军突起的镁合金压铸[J]. 特种铸造及有色合金, 2000, 6: 55~57.
- [2] 袁广银, 孙扬善, 张为民. Bi对铸造镁合金组织和力学性能的影响[J]. 铸造, 1998, 5: 5~7.
- [3] YUAN Guang-yin, SUN Yang-shan, ZAHNG Wei-min. Effects of Bi addition on microstructures and mechanical properties of as-cast magnesium alloys[J]. Casting, 1998, 5: 5~7.
- [4] 闵学刚, 孙扬善, 袁广银, 等. Bi, Sb, Ca和Si对AZ91合金的组织和性能的影响[J]. 中国有色金属学报, 2002, 12(S3): 166~171.
- [5] MIN Xue-gang, SUN Yang-shan, YUAN Guang-yin et al. Effects of Bi, Sb, Ca and Si on microstructures and properties of AZ91 based alloys[J]. The Chinese Journal of Nonferrous Metals, 2002, 12(S3): 166~171.
- [6] 孙扬善, 翁坤忠, 袁广银, 等. Sn对镁合金显微组织和力学性能的影响[J]. 中国有色金属学报, 1999, 9(1): 55~60.
- [7] SUN Yang-shan, WENG Kun-zhong, YUAN Guang-yin, et al. Effects of Sn addition on microstructures and mechanical properties of magnesium alloys[J]. The Chinese Journal of Nonferrous Metals, 1999, 9(1): 55~60.
- [8] YUAN Guang-yin, SUN Yang-shan, DING Wei-jiang, et al. Effect of bismuth and antimony additions on the microstructure and mechanical properties of AZ91 magnesium alloy[J]. Mater Sci Eng A, 2001, A308: 38~44.
- [9] WANG Qu-dong, CHEN Wei-zhou, ZEN Xiao-qin, et al. Effect of Ca addition on the microstructure and mechanical properties of AZ91 magnesium alloys[J]. Journal of Materials Science, 2001, 36: 3035~3040.
- [10] LI YI-zhen, WANG Qu-dong, ZENG Xiao-qin, et al. Effects of rare earth on the microstructure properties and fracture behavior of Mg-Al alloys[J]. Mater Sci Eng A, 2000, A278: 66~76.
- [11] Lou A, Shinoda T. SAE Technical Paper Series[R]. 1999, 980086: 1.
- [12] Lou A, Shinoda T. Development of a creep-resistant magnesium alloy for die casting applications[A]. Mordike B L, Kainer K U. Magnesium Alloys and Their Applications[C]. Werkstoff Informationsgesellschaft, Wolfsburg, Germany, 1998: 151~156.
- [13] Avedusian M M, Baker H. Magnesium and Magnesium Alloys, ASM Specialty Handbook[M]. Materials Park, OH: ASM International, 1999.
- [14] Zhang Z, Tremblay R, Dube D, et al. Solidification microstructure of ZA102, ZA104 and ZA106 magnesium alloys and its effect on creep deformation[J]. Canadian Metallurgical Quarterly, 2000, 39(4): 503~512.

Effects of RE on microstructures of Mg-8Zn-4Al-0.3Mn magnesium alloys

WANG Ying-xin, GUAN Shao-kang, WANG Jian-qiang

(School of Materials Engineering, Zhengzhou University, Zhengzhou 450002, China)

Abstract: The effects of RE on microstructure of Mg-8Zn-4Al-0.3Mn casting magnesium alloys were studied. The results show that casting microstructures of Mg-8Zn-4Al-0.3Mn magnesium alloys mainly contain α (Mg) matrix, eutectic α (Mg), φ (Al₂Mg₅Zn₂) phase and τ (Mg₃₂(Al, Zn)₄₉) phase. The morphology of ternary phases on the grain boundaries changes from quasi continuous net to particle and the distribution of ternary phases gradually changes to be dispersive and homogeneous and the quantities of needle-shaped or rod-shaped Mg₃Al₄Zn₂RE phase on the grain boundaries increase with the increases of RE addition. As cast microstructures of Mg-8Zn-4Al-0.3Mn magnesium alloys can be refined by addition of 1.5% RE obviously. The size of grains decreases from 120~130 μm to 40~50 μm . The microhardness values of Mg-8Zn-4Al-0.3Mn magnesium alloys increase with the increases of RE addition.

Key words: Mg-8Zn-4Al-0.3Mn magnesium alloys; RE; microstructure

(编辑 黄劲松)